

2. Шклярчук Ф.Н., Тютюнников Н.П. Уравнения колебаний скошенной тонкостенной конструкции типа крыла переменной стреловидности. - И сб. Прочность элементов конструкций летательных аппаратов, М.: МАИ, 1982, с.65-70.

УДК 539.834

Х.С.Хазанов, А.В.Хивиццев

ИССЛЕДОВАНИЕ ГЕРМЕТИЧНОСТИ БОЛТОВОГО ФЛАНЦЕВОГО СОЕДИНЕНИЯ ЦИЛИНДРИЧЕСКИХ ОБОЛОЧЕК

В настоящей работе предлагается методика расчета герметичности болтового соединения двух одинаковых цилиндрических оболочек контактирующими фланцами (рис.1). Предполагается наличие между фланцами плоской прокладки, материал которой считается линейно-упругим, причем модуль упругости материала прокладки значительно меньше модуля упругости материала фланца. Учитывается влияние на величину зоны разгерметизации затяжки и податливости фланцевых болтов. Задача решается в линейной постановке, оболочка считается моментной. Конструкция нагружается силами затяжки болтов Q_B и внутренним давлением $P_{вн}$.

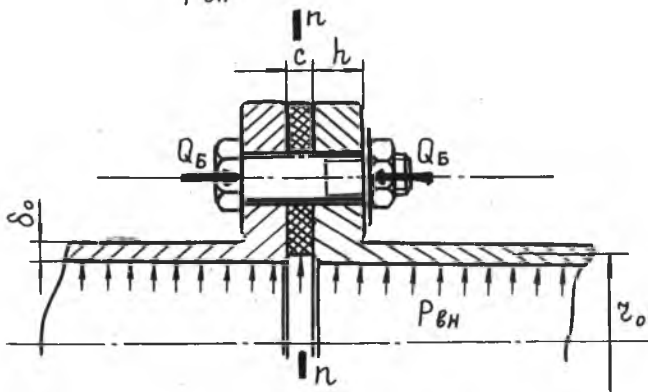


Рис. 1

В силу симметрии стыкового узла относительно плоскости $n-n$, проходящей через срединную поверхность прокладки (рис.1), и вследствие регулярности расположения фланцевых болтов при решении

рассматривается только часть одного из фланцев (между двумя соседними болтами), одна оболочка и половина толщины прокладки. Средняя поверхность фланца считается недеформируемой в своей плоскости.

Решение ведется методом конечных элементов в перемещениях. Фланец представлен сеткой восьмиузловых изопараметрических конечных элементов /I/ для изгиба пластин с 24 степенями свободы (рис.2).

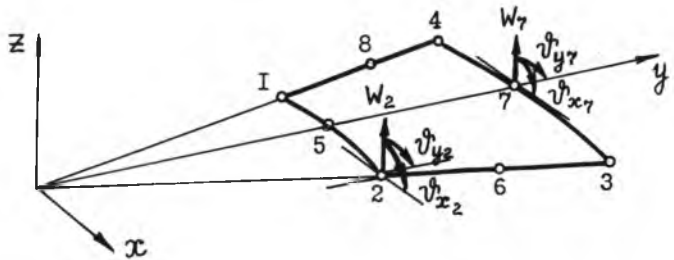


Рис. 2

В конечном элементе пластины реализована независимая аппроксимация линейных и угловых перемещений и используется метод сокращения числа точек интегрирования по Гауссу при вычислении вклада деформаций поперечного сдвига в матрицу жесткости. В разработанной программе предусмотрена процедура сглаживания напряжений /I/.

Прокладка представлена набором изопараметрических элементов, работающих на сжатие (рис.3). Геометрия в плане элемента прокладок совпадает с геометрией элемента пластины. Каждый узел содержит одну степень свободы - перемещение u_z .

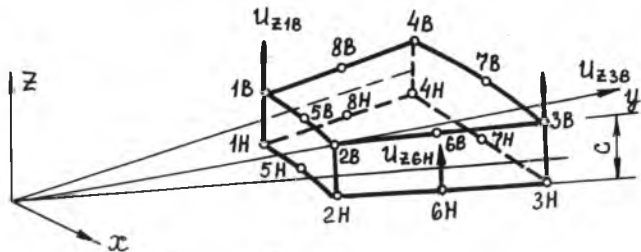


Рис. 3

Крепежный болт аппроксимируется стержневым элементом, а оболочка в целях сокращения порядка разрешающей системы алгебраических уравнений рассматривается как один конечный элемент, имеющий по торцам узлы в точках сопряжения с фланцем (рис.5).

Конечноэлементная модель конструкции представлена на рис.4.

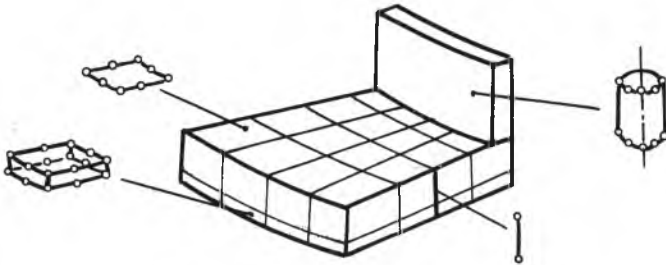


Рис. 4

Матрица жесткости оболочки строится с использованием аналитического решения теории моментной цилиндрической оболочки в тригонометрических рядах по окружной координате φ /2/. Подобный метод был использован применительно к расчету консольной цилиндрической оболочки, подкрепленной шпангоутом переменной жесткости, в работе /3/, где один торец оболочки считался жестко закрепленным. В отличие от этого в настоящей работе оба торца свободны.

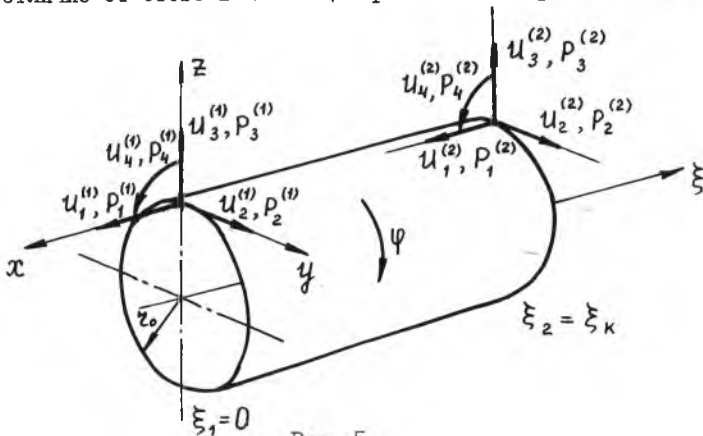


Рис. 5

Введем обозначения:

$P_1^{(K)}, P_2^{(K)}, P_3^{(K)}, P_4^{(K)}$ - соответственно погонные нормальная, касательная, обобщенная перерезывающая силы и погонный изгибающий момент на K -ом торце оболочки ($K = 1, 2$);

$u_1^{(K)}, u_2^{(K)}, u_3^{(K)}, u_4^{(K)}$ - соответственно линейные перемещения точек срединной поверхности оболочки в направлении осей x, y, z и угол поворота нормали к срединной поверхности оболочки в направлении действия $P_4^{(K)}$ (рис.5).

Рассматривается симметричное относительно диаметральной плоскости $\varphi = 0$ напряженно-деформированное состояние оболочки. Пусть известно для него решение дифференциального уравнения изгиба оболочки в тригонометрических рядах относительно окружной координаты φ , т.е. известны ряды для сил и перемещений:

$$P_i^{(K)} = \sum_{n=0}^{\infty} \ell_n P_{in}^{(K)} \cos n\varphi \quad (i=1,3,4), \quad P_2^{(K)} = \sum_{n=1}^{\infty} P_{2n}^{(K)} \sin n\varphi, \quad (1)$$

$$u_i^{(K)} = \sum_{n=0}^{\infty} u_{in}^{(K)} \cos n\varphi \quad (i=1,3,4), \quad u_2^{(K)} = \sum_{n=1}^{\infty} u_{2n}^{(K)} \sin n\varphi, \quad (2)$$

$$(\ell_0 = \frac{1}{2}, \quad \ell_n = 1 \quad \text{при } n \neq 0).$$

Перейдем в (1) и (2) от рядов к конечным суммам, ограничив в них суммирование до $n_{\max} = t$ (t - число узлов на полуокружности торца), и введем матрицы-столбцы

$$P = [P_1^{(1)T} P_2^{(1)T} P_3^{(1)T} P_4^{(1)T} P_1^{(2)T} P_2^{(2)T} P_3^{(2)T} P_4^{(2)T}]^T, \\ u = [u_1^{(1)T} u_2^{(1)T} u_3^{(1)T} u_4^{(1)T} u_1^{(2)T} u_2^{(2)T} u_3^{(2)T} u_4^{(2)T}]^T, \quad (3)$$

где для $K = 1, 2$

$$P_i^{(K)} = [P_{i0}^{(K)} P_{i1}^{(K)}, \dots, P_{it}^{(K)}]^T \quad (i=1,3,4), \quad P_2^{(K)} = [P_{21}^{(K)} P_{22}^{(K)}, \dots, P_{2t}^{(K)}]^T, \\ u_i^{(K)} = [u_{i0}^{(K)} u_{i1}^{(K)}, \dots, u_{it}^{(K)}]^T \quad (i=1,3,4), \quad u_2^{(K)} = [u_{21}^{(K)} u_{22}^{(K)}, \dots, u_{2t}^{(K)}]^T$$

- подматрицы-столбцы, составленные из коэффициентов рядов (1) и (2). Между этими коэффициентами имеется однозначное соответствие, которое в общем виде записывается как

$$P = C \cdot u. \quad (4)$$

Выражения для соответствующих членов рядов (1) и (2) содержат одни и те же постоянные интегрирования, причем коэффициенты рядов, относящиеся к нулевой гармонике, включают в себя по шесть постоянных, а остальные - по восемь. Используя для каждого члена ряда в отдельности граничные условия в перемещениях, один из коэффициентов рядов (2) на каждом торце полагаем поочередно равным единице, а остальные нулю. Таким образом, получаем для каждой гармоники систему алгебраических уравнений относительно постоянных интегрирования. Подставим найденные из решения этих систем уравнений постоянные в выражения для коэффициентов рядов (1) и получим искомые элементы матрицы C .

Составим матрицу-столбец

$$v = [v_1^{(1)T} v_2^{(1)T} v_3^{(1)T} v_4^{(1)T} v_1^{(2)T} v_2^{(2)T} v_3^{(2)T} v_4^{(2)T}]^T$$

узловых перемещений, совпадающих по направлению с перемещениями $u_1^{(k)}, u_2^{(k)}, u_3^{(k)}, u_4^{(k)}$.

Узловые перемещения v могут быть выражены через перемещения u :

$$v = \alpha \cdot u, \quad (5)$$

где α - числовая матрица $3/$, элементами которой являются тригонометрические функции.

Из (5) получим

$$u = \alpha^{-1} \cdot v = \beta \cdot v.$$

Обозначим через S матрицу узловых сил оболочки, действующих в направлении перемещений v и эквивалентных в энергетическом смысле распределенным силам P :

$$S = [s_1^{(1)T} s_2^{(1)T} s_3^{(1)T} s_4^{(1)T} s_1^{(2)T} s_2^{(2)T} s_3^{(2)T} s_4^{(2)T}]^T.$$

Запишем связь между узловыми силами и узловыми перемещениями в стандартной форме:

$$S = K \cdot v,$$

где K - матрица жесткости оболочки. Можно показать, что

$$K = \frac{\pi r_e}{2} \beta^T C \beta.$$

Очевидно, что вследствие регулярности расположения фланцевых болтов будет наблюдаться циклическая симметрия напряженно-деформи-

рованного состояния конструкции. Поэтому в решение войдут не все гармоники подряд, а только нулевая и те гармоники, номера которых кратны количеству болтов на полуокружности фланца.

Учет внутреннего давления производится по стандартной процедуре учета внеузловой нагрузки.

Перед объединением отсека оболочки и фланца в единую систему перемещения их узлов приводятся к единой системе координат.

Во фланцевых соединениях с плоскими прокладками уплотнение создается в основном сжатием прокладки фланцевыми болтами. Для обеспечения герметичности давление на контактных поверхностях $P_{РАБ}$ не должно выходить из диапазона

$$[p] > P_{РАБ} \geq P_{min}, \quad (6)$$

где $[p]$ – допускаемое давление для материала прокладки; P_{min} – минимальное давление на контактных поверхностях, при котором еще не нарушается герметичность.

Значения $[p]$ и P_{min} для различных материалов приведены в /4/.

Суммарное деформированное состояние конструкции получается наложением деформированного состояния, обусловленного затяжкой болтов, и состояния, вызванного внутренним давлением.

По заданной силе затяжки болта осуществляется его проверка на прочность. В случае превышения допускаемого уровня напряжений в болте на печать выводится соответствующая информация, и выполнение программы прекращается. Вторичная проверка прочности болта производится после приложения внутреннего давления и отыскания суммарного напряженно-деформированного состояния конструкции.

По найденным суперпозицией двух состояний перемещений узлов прокладки подсчитывается поле давлений $P_{РАБ}$ на контактной поверхности прокладки и фланца, в узловых точках которого (рис.6) проверяется двойное неравенство (6).

	1	2	3	4	5	
		7	8	9	10	
6		12	13	14	15	
11		17	18	19	20	
16		22	23	24	25	
21		27	28	29	30	
26		32	33	34	35	
31						

Рис. 6

Номера узлов, в которых $P_{РАБ}$ выпадает из диапазона (6), выводятся на печать в виде информации о разгерметизации или разрушении прокладки в зоне данного узла.

С целью отработки методики был проведен численный эксперимент. Расчеты проводились на ЭВМ ЕС-1040 для соединения, имеющего следующие характеристики: радиус срединной поверхности оболочки - 424 мм, длина оболочки - 424 мм, толщина стенки оболочки - 8 мм, модуль упругости материала оболочки, фланца и болтов - $2 \cdot 10^5$ МПа, прокладка толщиной 6 мм изготовлена из фторопласта -4 ($E_p = 2 \cdot 10^3$ МПа). Давление рабочего тела - 1 МПа. При постоянном объеме межболтовой части фланца варьировалось соотношение между шириной β и толщиной h фланца. Значения, которые принимали эти параметры в ходе расчетов, сведены в таблицу I.

Таблица I

h/β	0,213	0,333	0,480	0,607	0,750
h , мм	16	20	24	27	30
β , мм	75	60	50	44,44	40

Расчеты проводились для двух случаев затяжки болтов - силами 12 кН и 20 кН. На рис.7 и 8 сплошной линией показаны смещения точек срединной поверхности фланца, лежащих на радиусе, проходящем через болт, а пунктирной - на радиусе, совпадающем с осью симметрии межболтовой части фланца. На рис.9 (а и б) приведены диаграммы, иллюстрирующие изменение зоны герметичности при различных толщинах фланца для случаев затяжки болтов силами 12 кН и 20 кН соответственно. Как видно из рис.7, 8 с ростом толщины фланца он все в меньшей степени изгибается в радиальном направлении и, начиная с $h \approx 24$ мм, ведет себя практически как тонкое кольцо.

На рис.10 приведены кривые, выражающие зависимости перемещений некоторых точек срединной поверхности фланца от величины параметра $\beta = h/\beta$ при $Q_B = 20$ кН. Нумерация точек показана на рис.6. Точки № 1...5 вступают в контакт с прокладкой на диапазоне $\beta = 0,16...0,22$ и в дальнейшем с ростом этого параметра все сильнее вдавливаются в прокладку, т.е. растет давление P_k (причем при $\beta < 0,5$ более интенсивно) на контактной поверхности

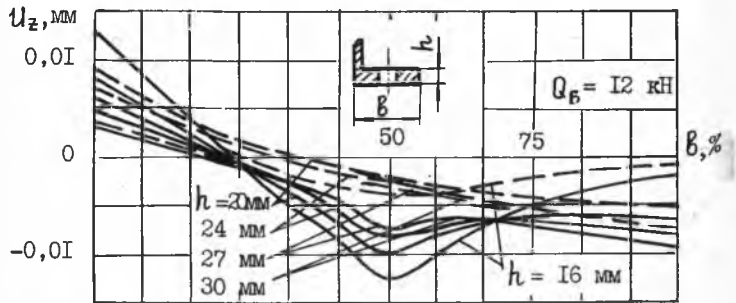


Рис. 7

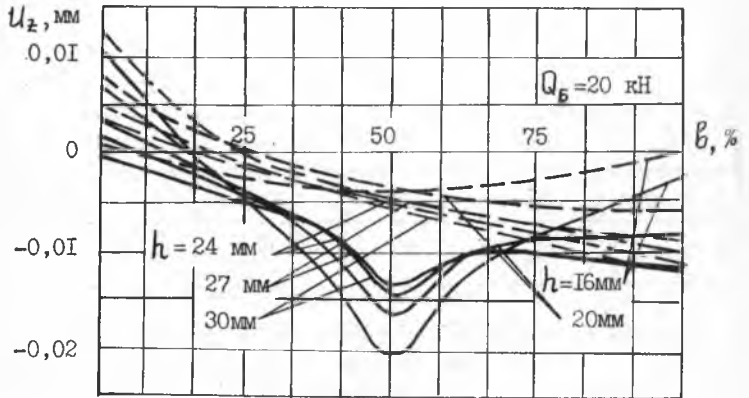


Рис. 8

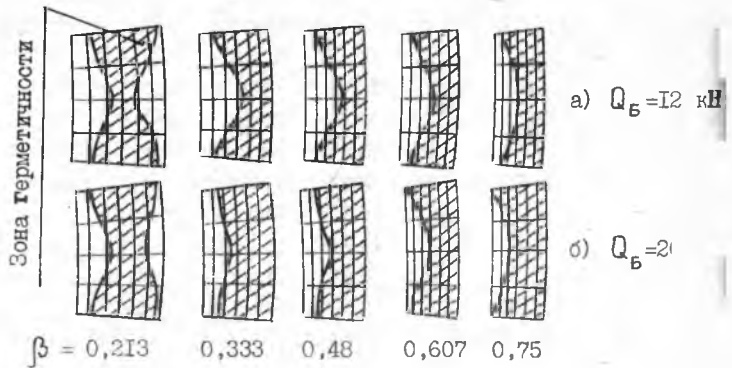


Рис. 9

фланца и прокладки. Герметичность же в этих точках наступает при $\beta \approx 0,33$. Точки № 6...10 уже при $\beta \approx 0,14$ находятся в контакте с прокладкой, а герметичность достигается здесь при $\beta \approx 0,24$.

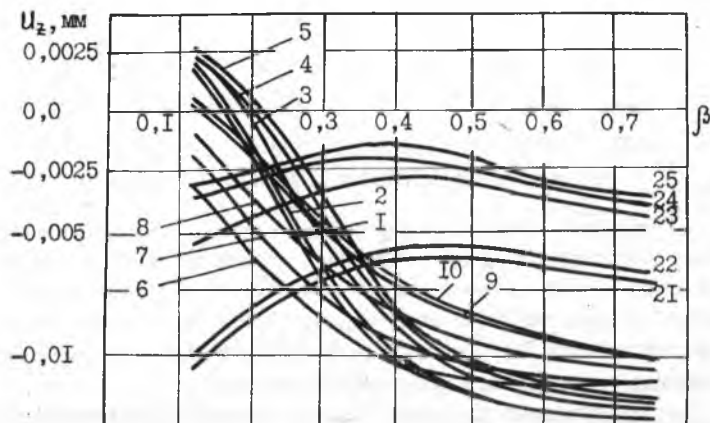


Рис. 10

Точки № 21...25 находятся в контакте с прокладкой на всем диапазоне величин параметра β . Однако давление P_k в этих точках с увеличением β сначала падает (при $\beta < 0,48$ для точек № 21, 22 и при $\beta < 0,35$ для точек № 23...25), а затем снова начинает расти. Причем точки № 21, 22, 23 находятся в зоне герметичности на всем диапазоне величин β , а точки № 24, 25 попадают туда только при $\beta \approx 0,7$. Построив аналогичные кривые для всех точек срединной поверхности фланца, можно выбрать оптимальное значение параметра β , обеспечивающее (при прочих одинаковых заданных параметрах соединения) полную герметичность стыка.

Л и т е р а т у р а

1. Образцов И.Ф., Савельев Л.М., Хазанов Х.С. Метод конечных элементов в задачах строительной механики летательных аппаратов. - М.: Высшая школа, 1985.
2. Гольденвейзер А.Л. Теория упругих тонких оболочек. - М.: Наука, 1976.
3. Хазанов Х.С., Логунов В.Я. Использование аналитического

решения для построения матрицы жесткости цилиндрической оболочки. - В сб.: Вопросы прикладной механики в авиационной технике. Куйбышев: Куйбышевский авиационный институт, 1975, вып. 77.

4. Биргер И.А. и др. Расчет на прочность деталей машин. : Справочник. - М.: Машиностроение, 1979.

УДК 539.3:624.074

И.С.Ахмедьянов, В.Е.Кремс

РАСЧЕТ СФЕРИЧЕСКОЙ ОБОЛОЧКИ С ДВУМЯ ПРОИЗВОЛЬНО РАСПОЛОЖЕННЫМИ ЖЕСТКИМИ КРУГЛЫМИ ШАЙБАМИ

В /1/ изложено общее решение задачи о расчете сферической оболочки с несколькими произвольно расположенными жесткими круглыми шайбами. В предлагаемой статье приводятся дополнительные соотношения применительно к этой задаче. Кроме того, представлены некоторые результаты числового расчета сферической оболочки с двумя шайбами, воспринимающими касательные силы.

1. Для составления граничных условий по контурам шайб и по опорной параллели, а также для расчета внутренних усилий, моментов и перемещений в сферической оболочке необходимо располагать координатами одной и той же точки ее срединной поверхности в различных системах координат.

Пусть φ_i , ψ_i - координаты некоторой точки С срединной поверхности сферической оболочки в i -ой местной системе координат, связанной с i -ой шайбой (рис.1) /1/. Тогда для координат α , β этой точки в общей системе координат будем иметь /2/:

$$\cos \alpha = \cos A_i \cos \varphi_i - \sin A_i \sin \varphi_i \cos \psi_i, \quad (1)$$

$$\cos (\beta - B_i) = \frac{\cos \psi_i - \cos A_i \cos \alpha}{\sin A_i \sin \alpha}. \quad (2)$$

Так как $0 \leq \alpha \leq \pi$, то

$$\sin \alpha = + \sqrt{1 - \cos^2 \alpha}. \quad (3)$$

Согласно теореме синусов /2/:

$$\sin (\beta - B_i) = \sin \varphi_i \frac{\sin \psi_i}{\sin \alpha}. \quad (4)$$